

Uspořádání genomu v jádře buňky

Rozdělení genetických elementů v jádře pro různé typy buněk a různé živočišné druhy (radiální distribuce)

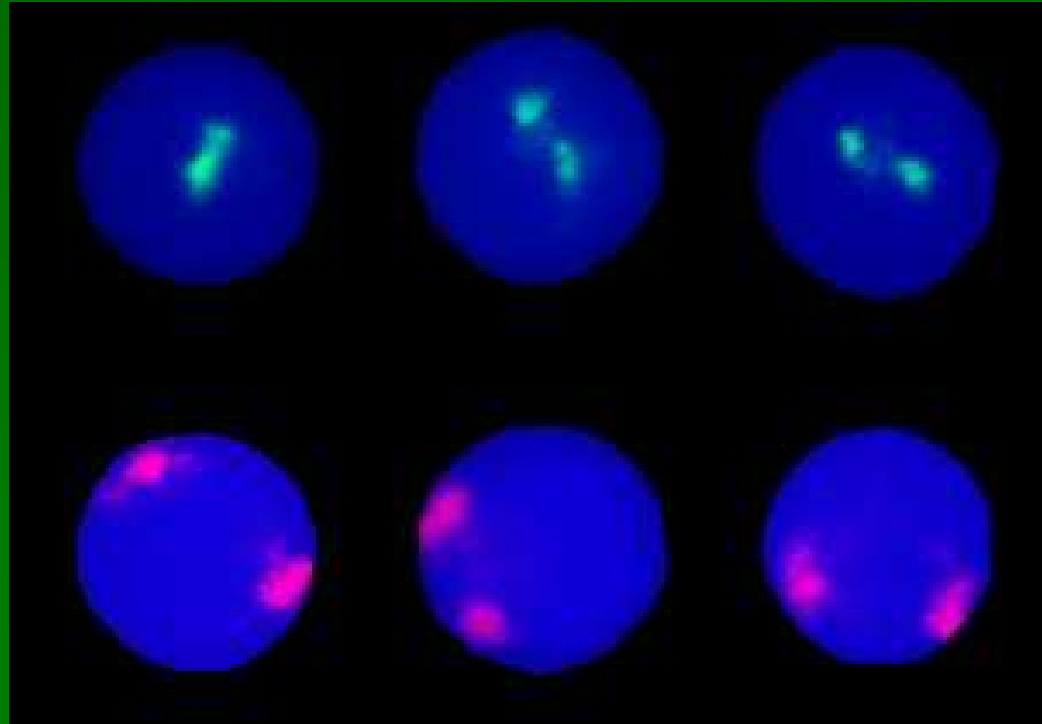
Úhlové distribuce pro geny a CT - interpretace

Vzájemné vzdálenosti genetických elementů – výpočet a porovnání s experimentem

Vazba genetických elementů (CT) mezi sebou

Genom se příliš nehýbe

Polohy chromosomů v jádře se mohou lišit

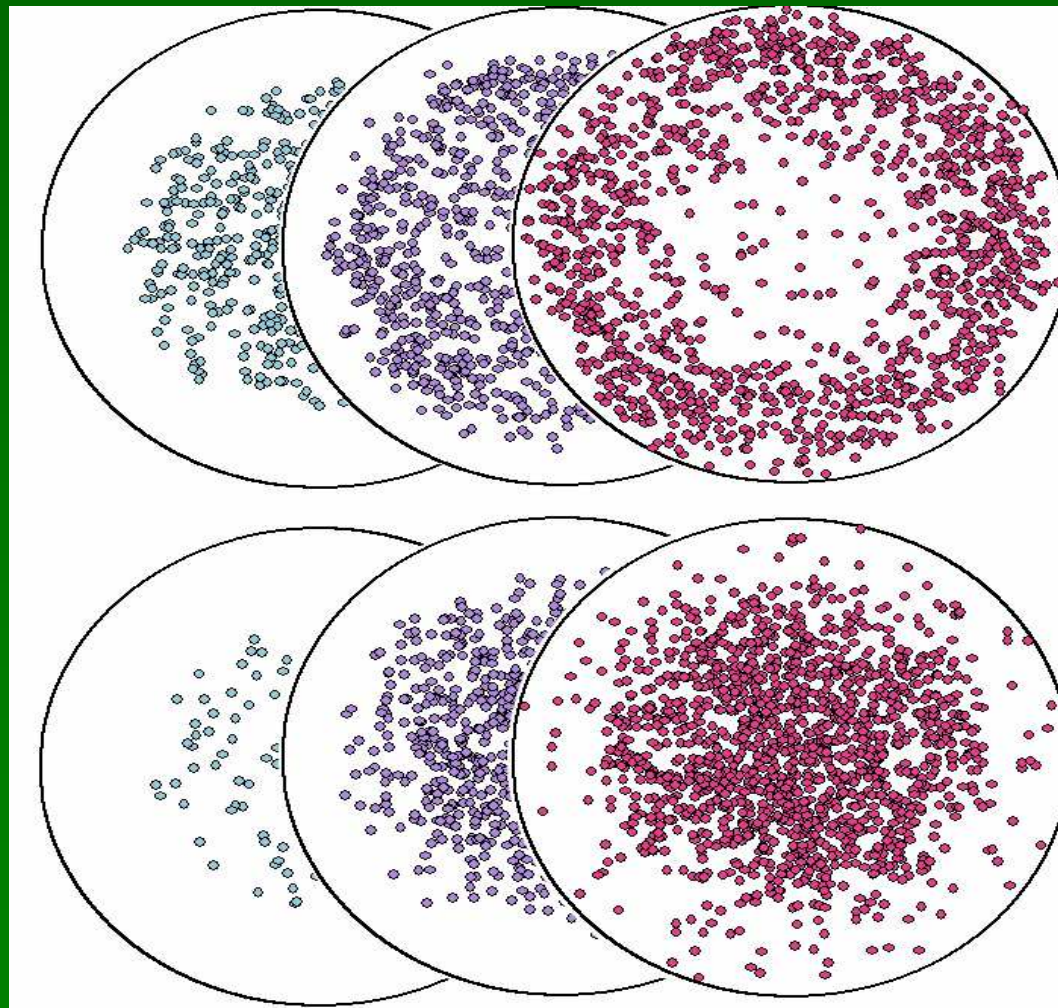


Chr. 22

Chr. 8

Polohy genetických elementů v jádře

Řezy středem jádra z různých jader přeložené přes sebe pro dva geny (c-MYC a ABL)

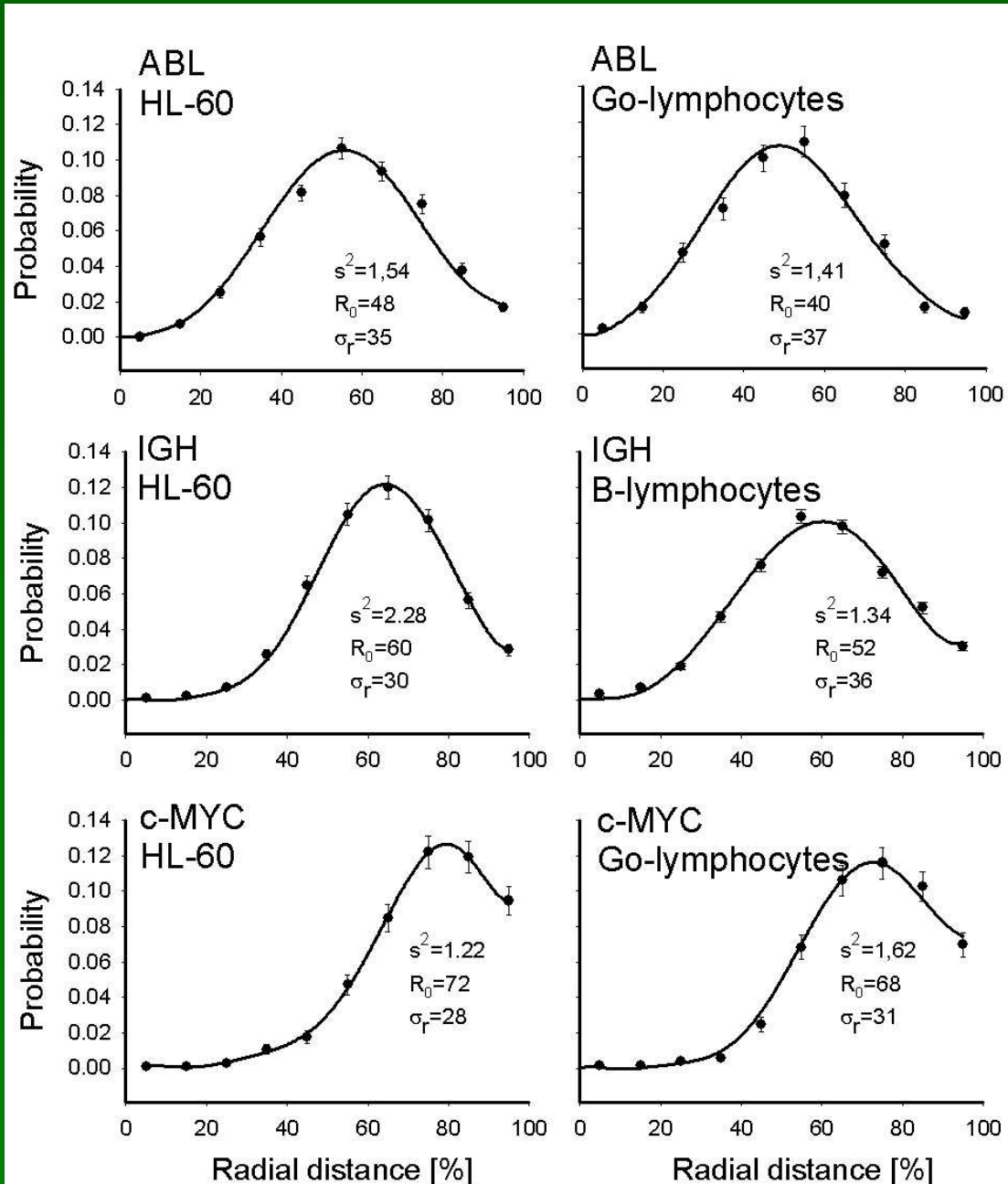


c-MYC

ABL

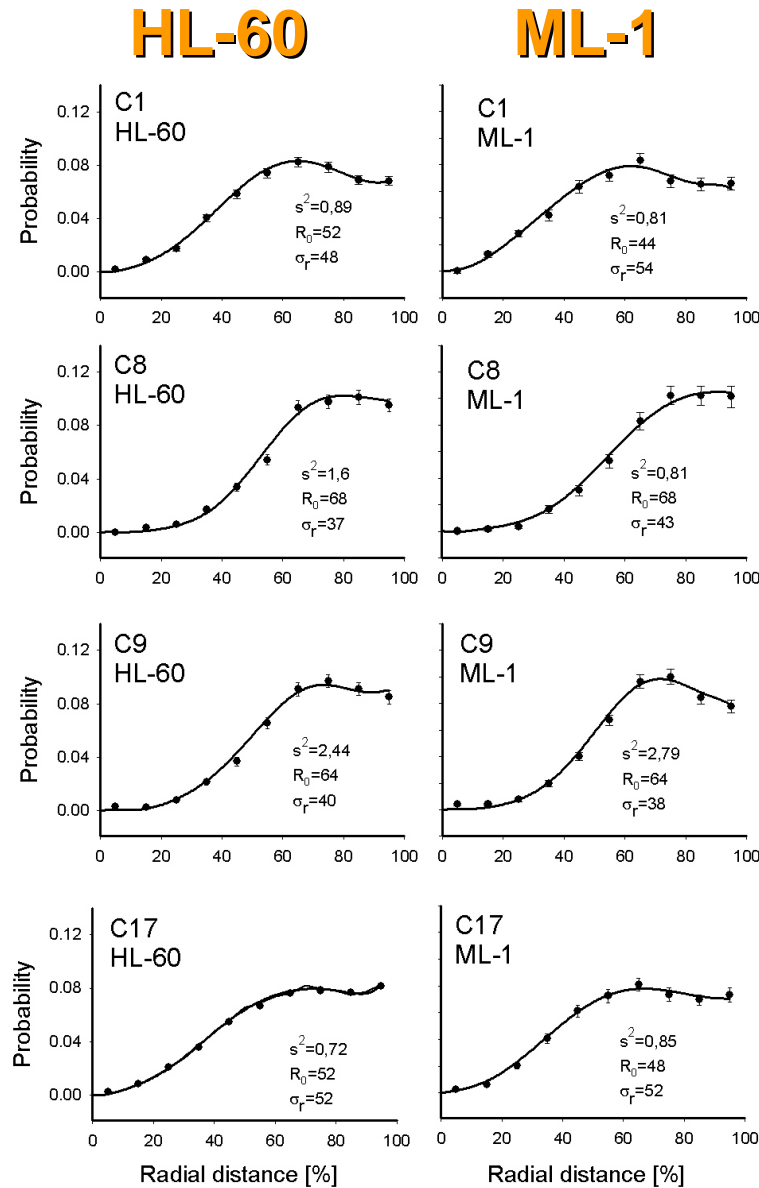
Vzdálenosti genů od středu jádra

ABL, IGH a C-MYC v buňkách HL-60 a v G_0 lymfocytech

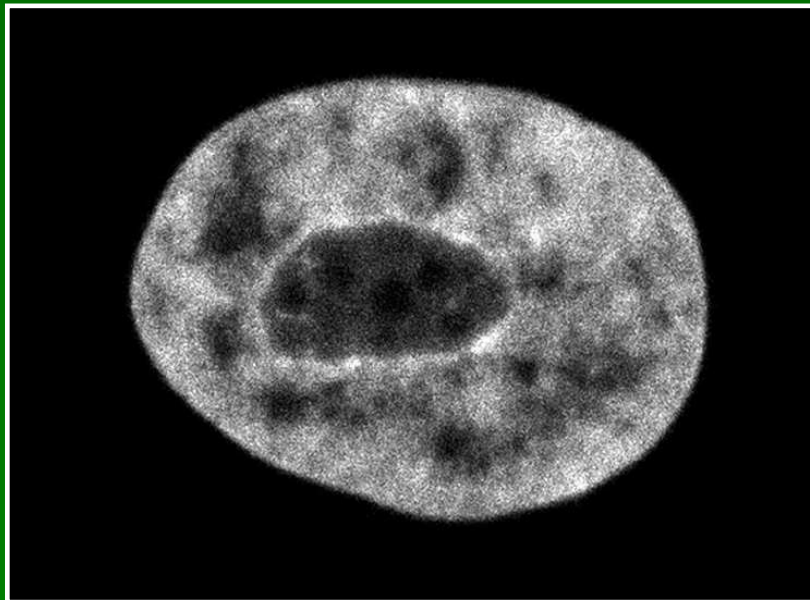
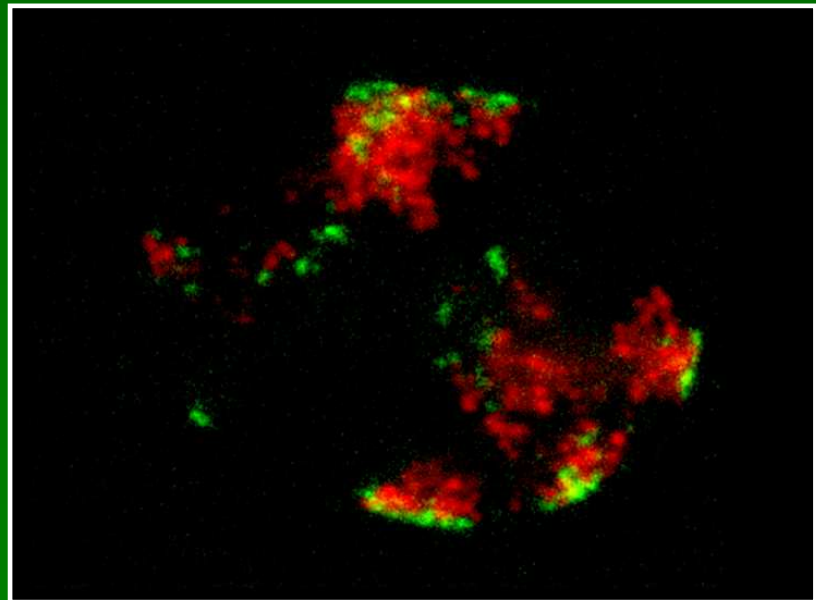


Vzdálenosti centromer od středu jádra

Centromery 1, 8, 9
a 17 v buňkách
HL-60 a ML-1



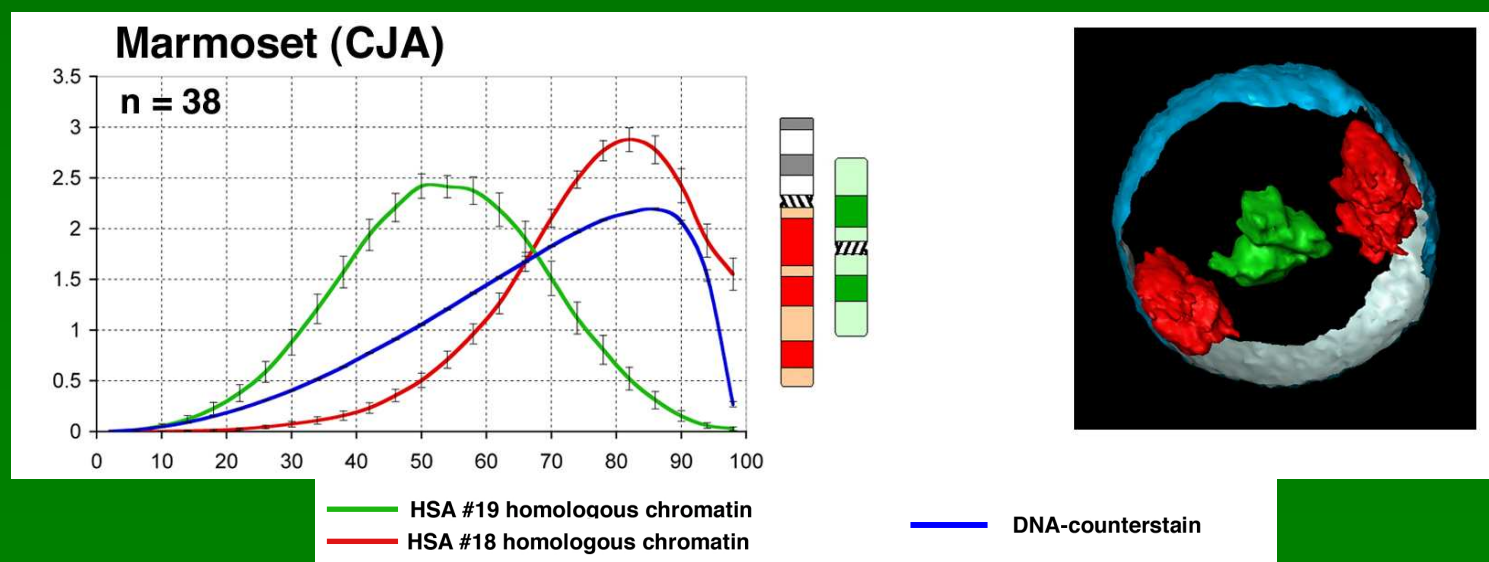
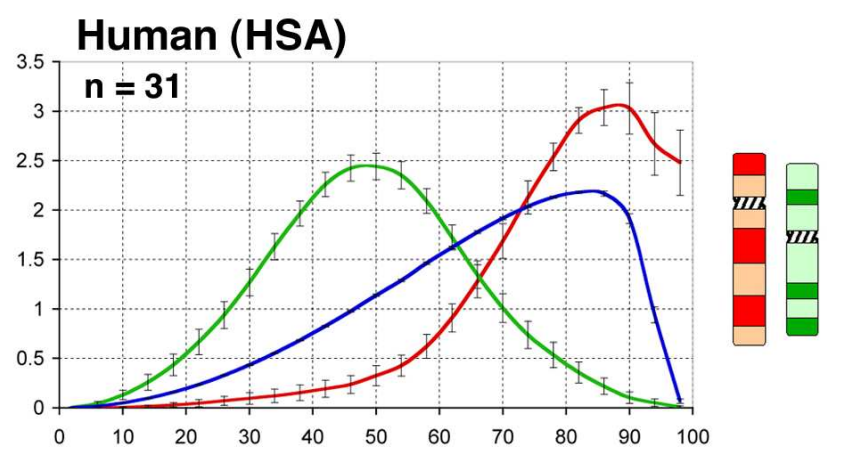
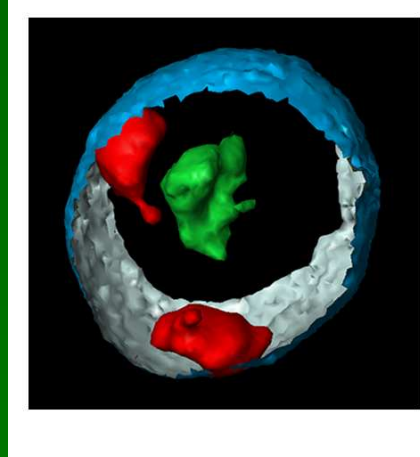
Radiální uspořádání chromosomů v jádře (genově bohaté a časně se replikující oblasti (**červeně**) a genově chudé a pozdě replikující oblasti (**zeleně**))



Two color replication labeling of SH-EP N14 cells with **Cy3-dUTP** and **FITC-dUTP**

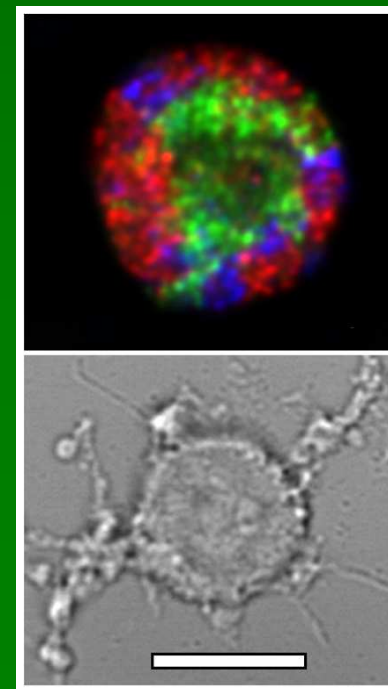
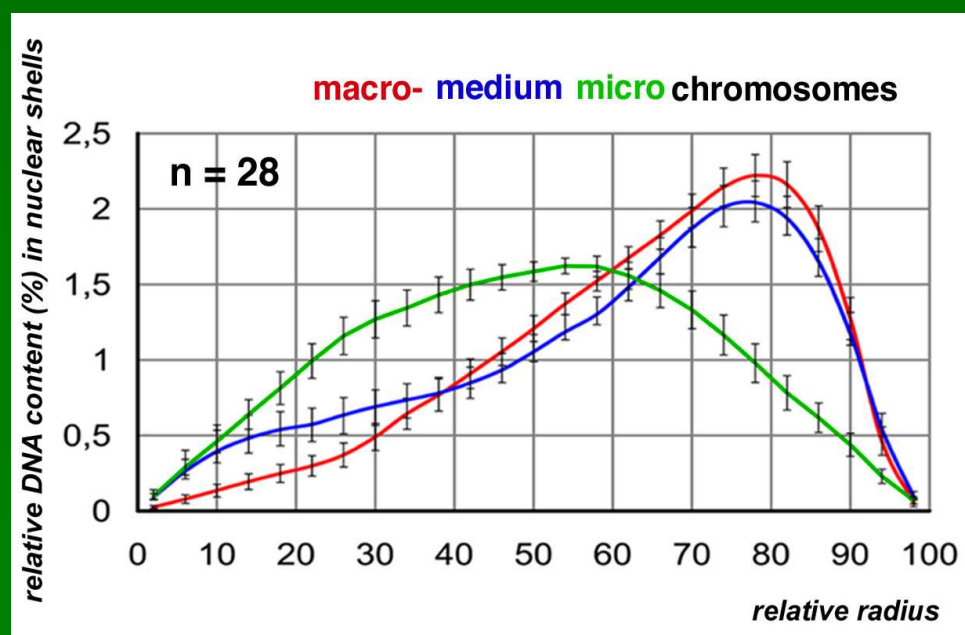
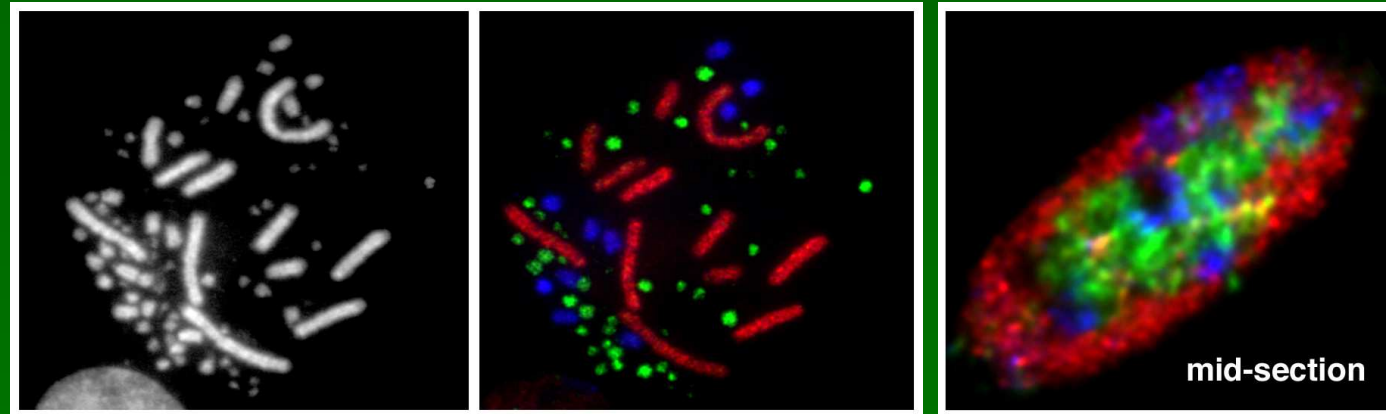
Schermelleh et a. (2001) *Chromosome Res.* 9:77-80

Uspořádání chromatinu homologního k lidským chromosomům #18 a #19 se u lymfoidních buněk zachovalo v průběhu evoluce vyšších primátů



Tanabe et al. (2002), PNAS 99: 4424-9

Distribuce časně se replikujícího chromatinu microchromosomů a pozdně se replikujícího chromatinu makrochromosomů v interfázi kuřecích buněk a embryonálních fibroblastů a neuronů



Uspořádání genomu v jádře buňky

Rozdělení genetických elementů v jádře pro různé typy buněk a různé živočišné druhy (radiální distribuce)

Úhlové distribuce pro geny a CT - interpretace

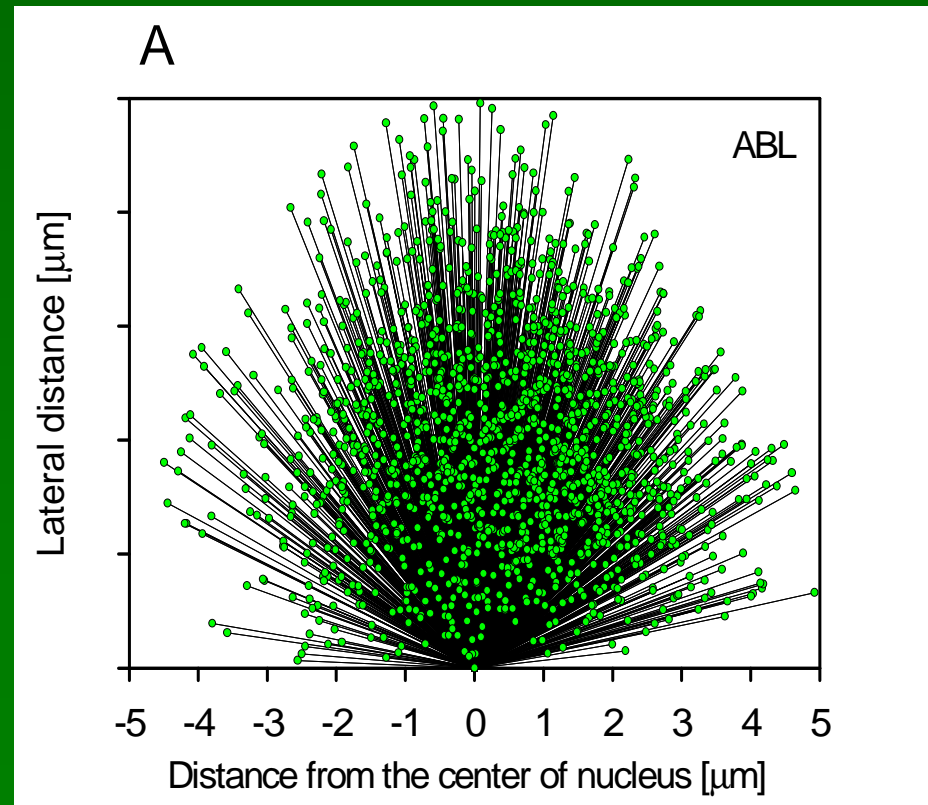
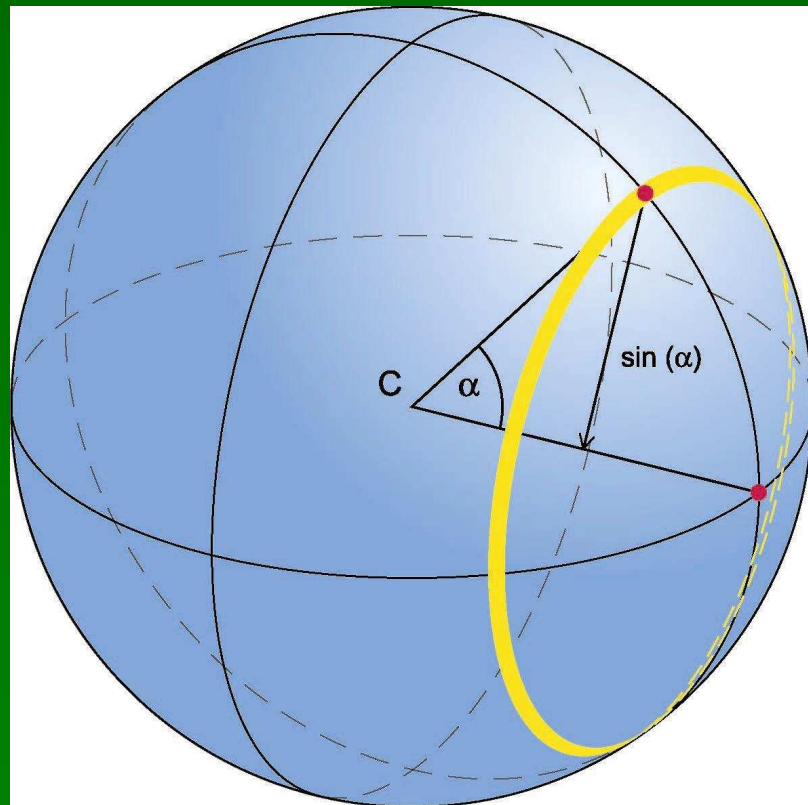
Vzájemné vzdálenosti genetických elementů – výpočet a porovnání s experimentem

Vazba genetických elementů (CT) mezi sebou

Genom se příliš nehýbe

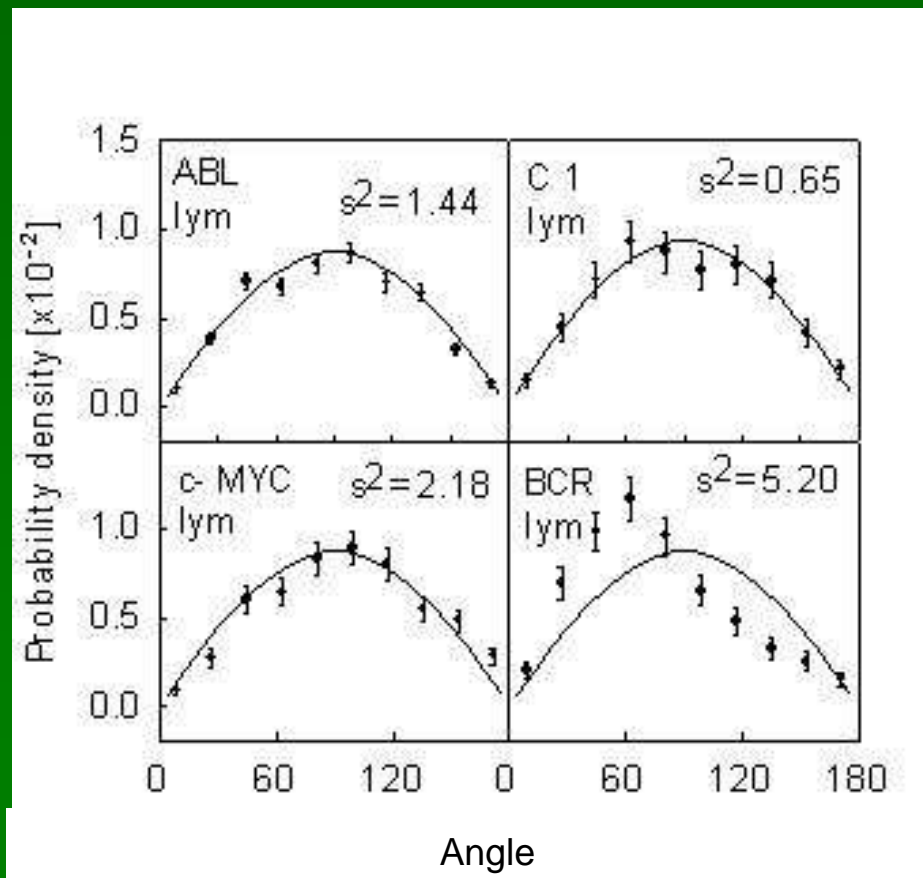
Úhlové distribuce

Rozdělení úhlů mezi spojnicemi střed jádra – gen pro homologní dvojice genů. Jeden z genů dvojice leží na ose x, druhý je v ploše obrázku.



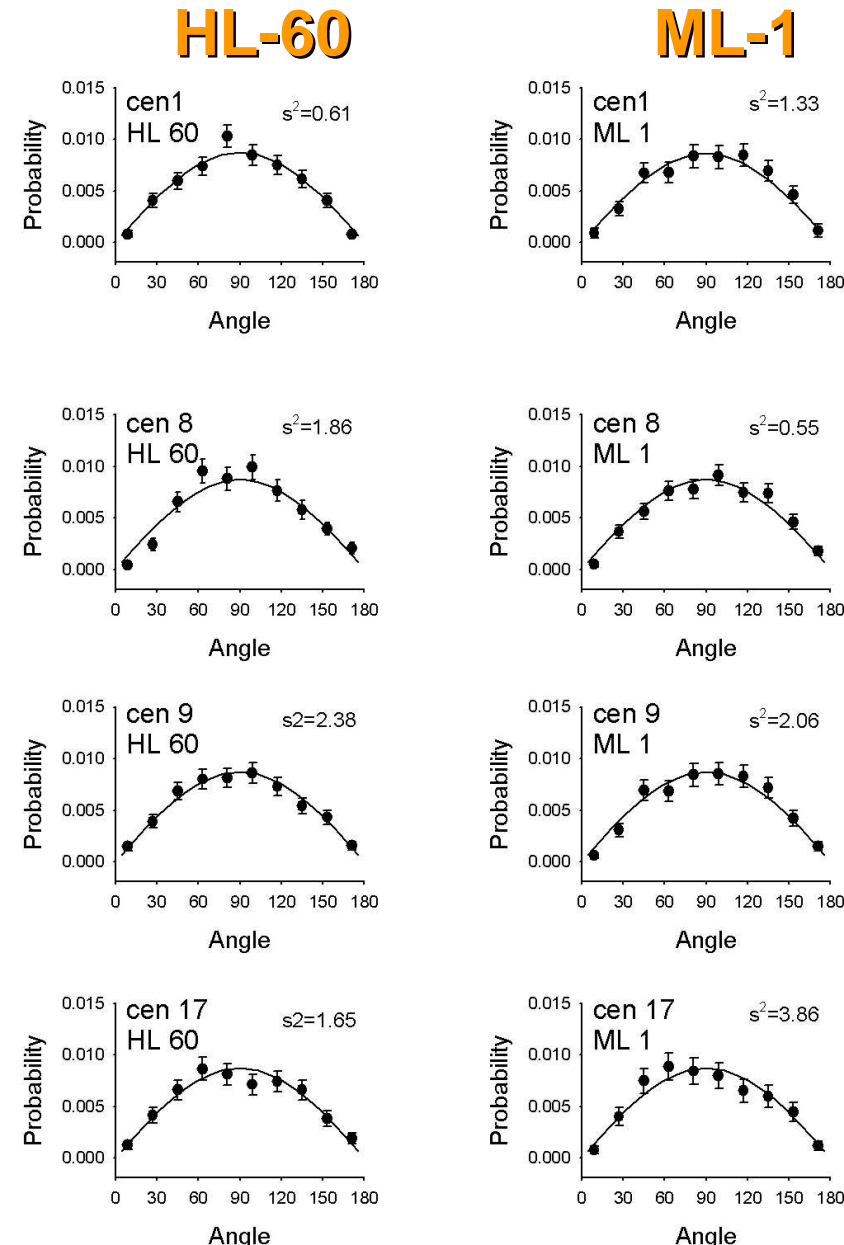
Rozdělení úhlů gen-střed-gen

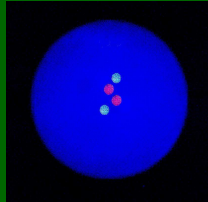
Geny ABL, c-MYC, BCR,
centromera C1 v buňkách
Go-lymfocytů



Úhly mezi spojnicemi střed jádra – centromera pro homologní centromery

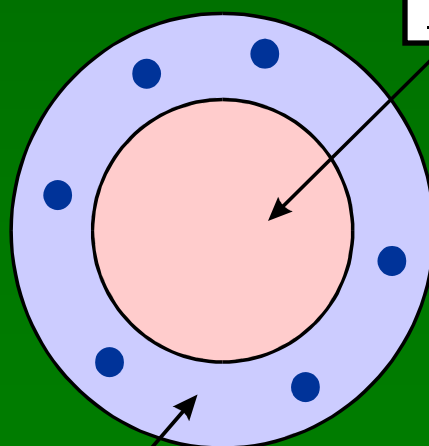
Centromery 1, 8, 9
a 17 v buňkách
HL-60 a ML-1





Kompartmentalizace jádra

Interfázní jádro



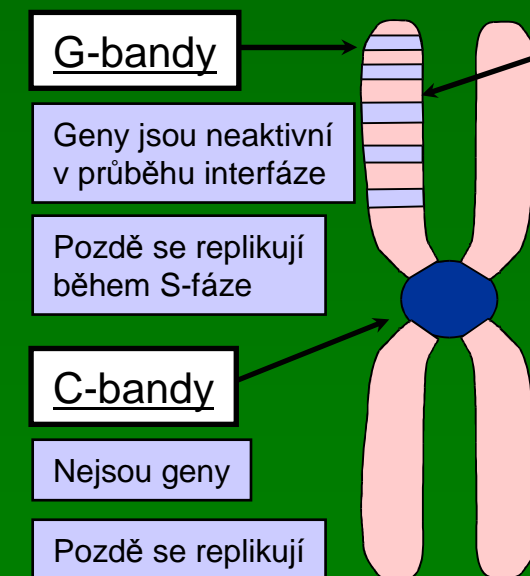
Vnitřní kompartment

Časně se replikuje
Transkripčně aktivní
DNA sekvence R-bandů

Periferní kompartment

Pozdě se replikuje
Transkripčně neaktivní
DNA sekvence G- a C-bandů

Metafázní chromosom



G-bandy

Geny jsou neaktivní
v průběhu interfáze

Pozdě se replikují
během S-fáze

C-bandy

Nejsou geny

Pozdě se replikují

R-bandy

Mnoho genů je
aktivních

Časně se replikují
během S-fáze

Uspořádání genomu v jádře buňky

Rozdělení genetických elementů v jádře pro různé typy buněk a různé živočišné druhy (radiální distribuce)

Úhlové distribuce pro geny a CT - interpretace

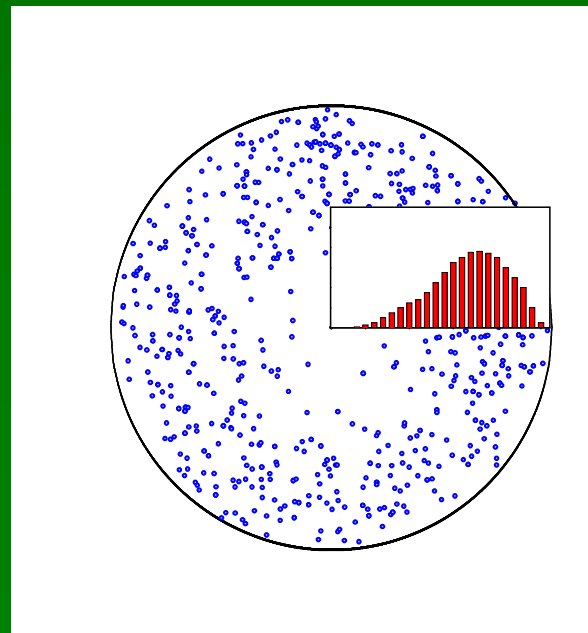
Vzájemné vzdálenosti genetických elementů – výpočet a porovnání s experimentem

Vazba genetických elementů (CT) mezi sebou

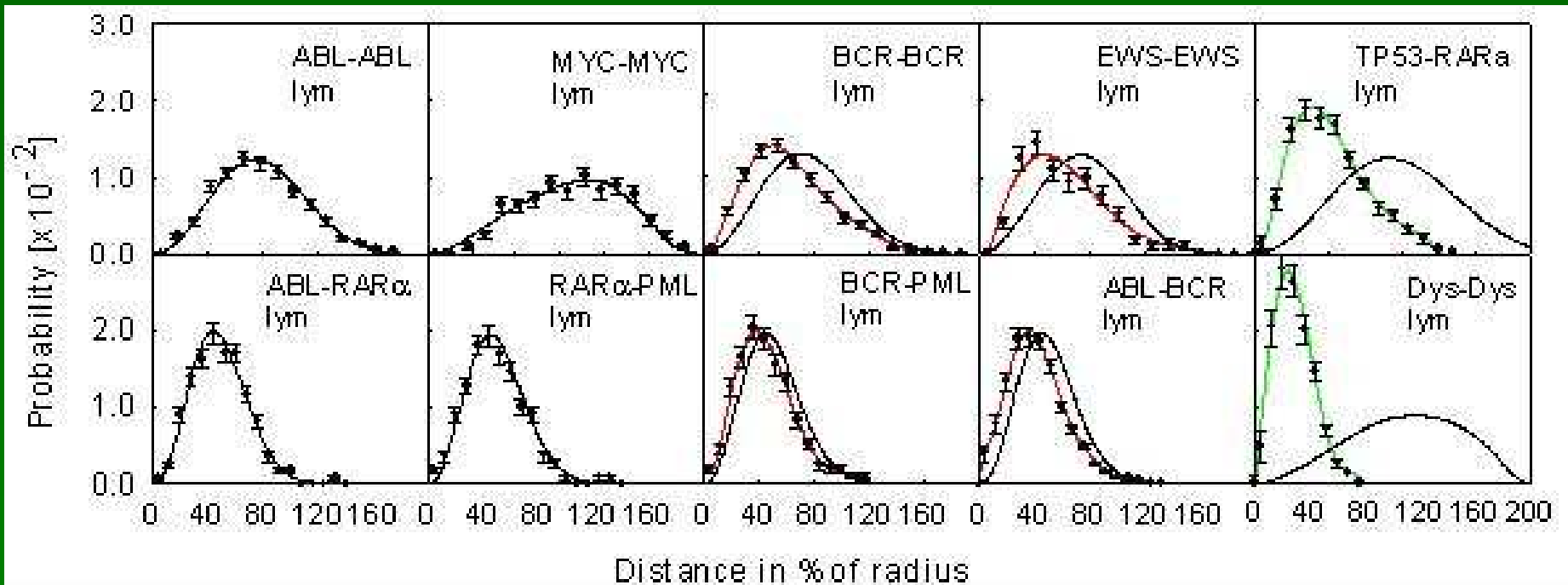
Genom se příliš nehýbe

Model rotační symetrie (Blood, 89, 4537-4545, 1997)

Rozdělení vzdáleností mezi homologními i heterologními geny lze předpovědět na základě modelu rotační symetrie jádra, který je založen na předpokladu náhodných úhlových distribucí genetických lokusů. Výpočet je založen na Monte-Carlo simulaci radiálních rozdělení.



Vzdálenosti mezi homologními a heterologními genetickými elementy



Uspořádání genomu v jádře buňky

Rozdělení genetických elementů v jádře pro různé typy buněk a různé živočišné druhy (radiální distribuce)

Úhlové distribuce pro geny a CT - interpretace

Vzájemné vzdálenosti genetických elementů – výpočet a porovnání s experimentem

Vazba genetických elementů (CT) mezi sebou

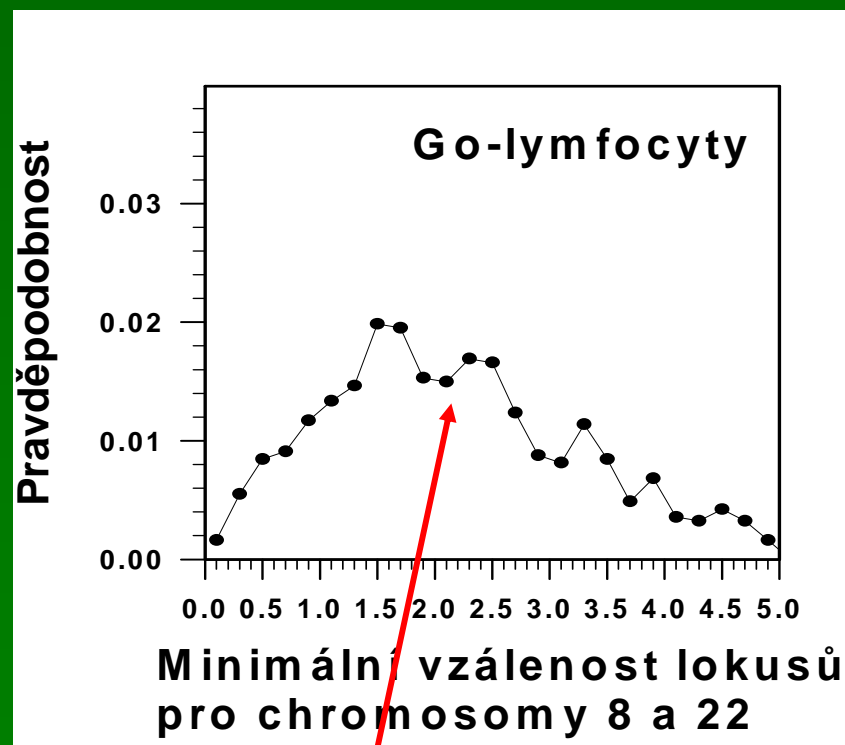
Genom se příliš nehýbe

Polohy dvou genů na chromosomech 9 a 22



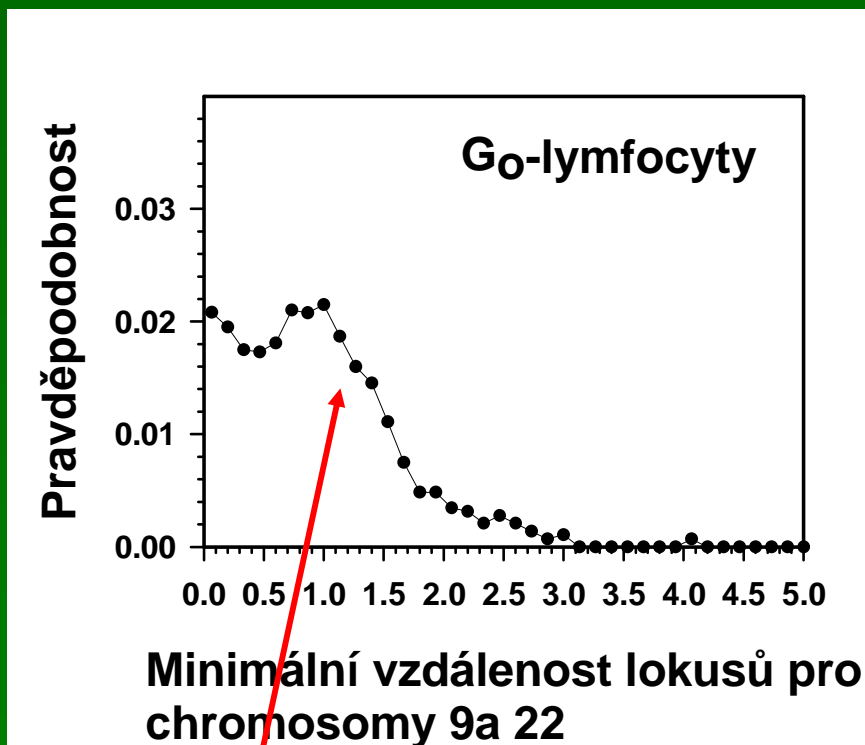
Vzdálenosti dvou genů na heterologních chromosomech

Chromosomy 8 a 22



Typické pro řadu dvojic genů
a buněčných typů

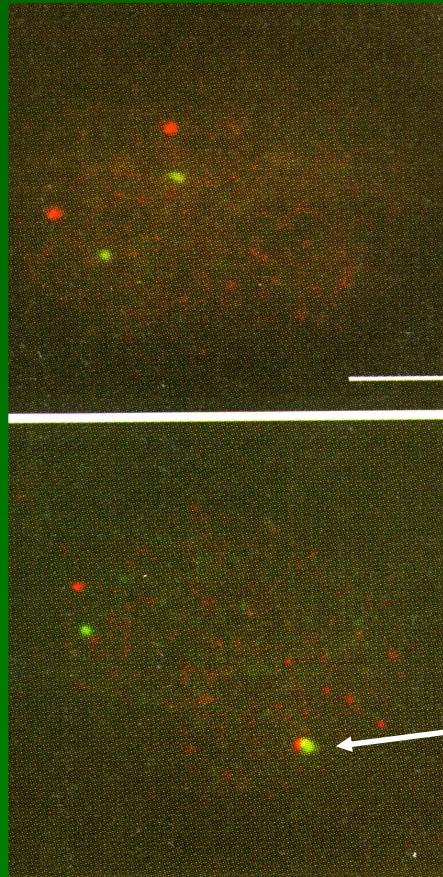
Chromosomy 9 a 22



ABL a BCR geny
v Go-lymfocytech

Vazba mezi genetickými lokusy

Geny RET a H4
v buňkách štítné
žlázy



Vazba mezi geny

Uspořádání genomu v jádře buňky

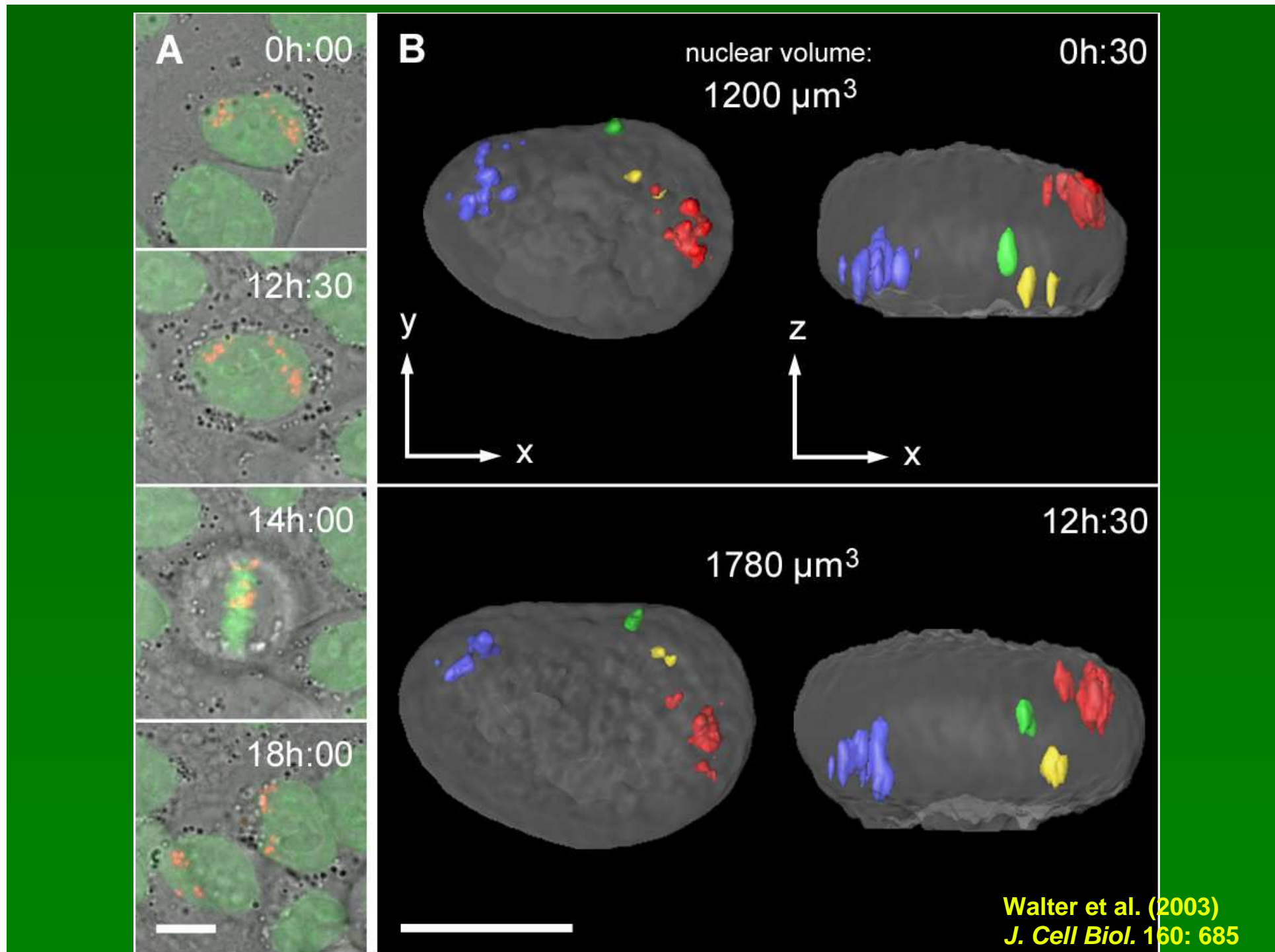
Rozdělení genetických elementů v jádře

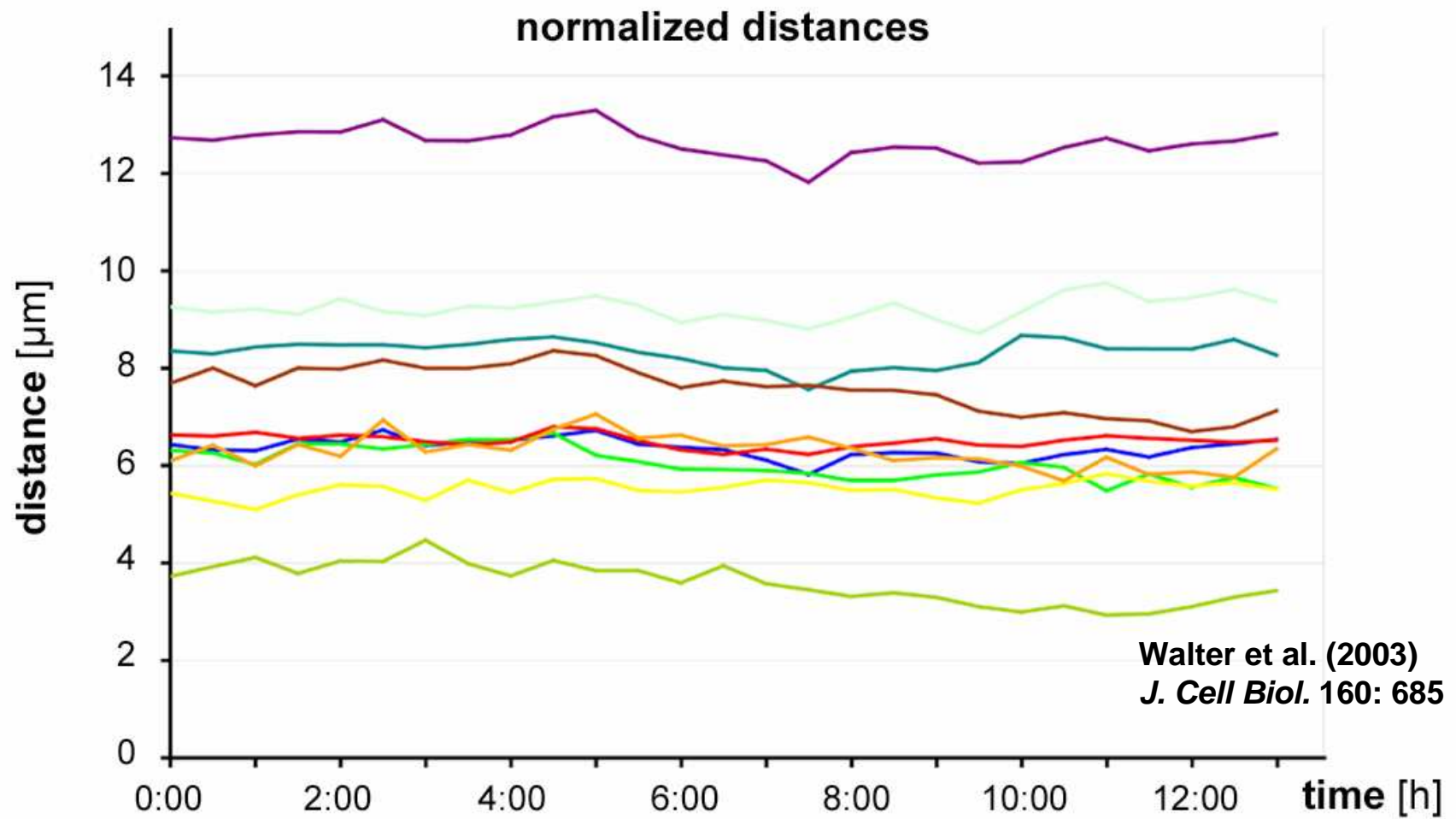
Radiální distribuce, hustota provděpodobnosti

Úhlové distribuce pro geny a CT - interpretace

Vzájemné vzdálenosti genetických elementů – výpočet a porovnání s experimentem

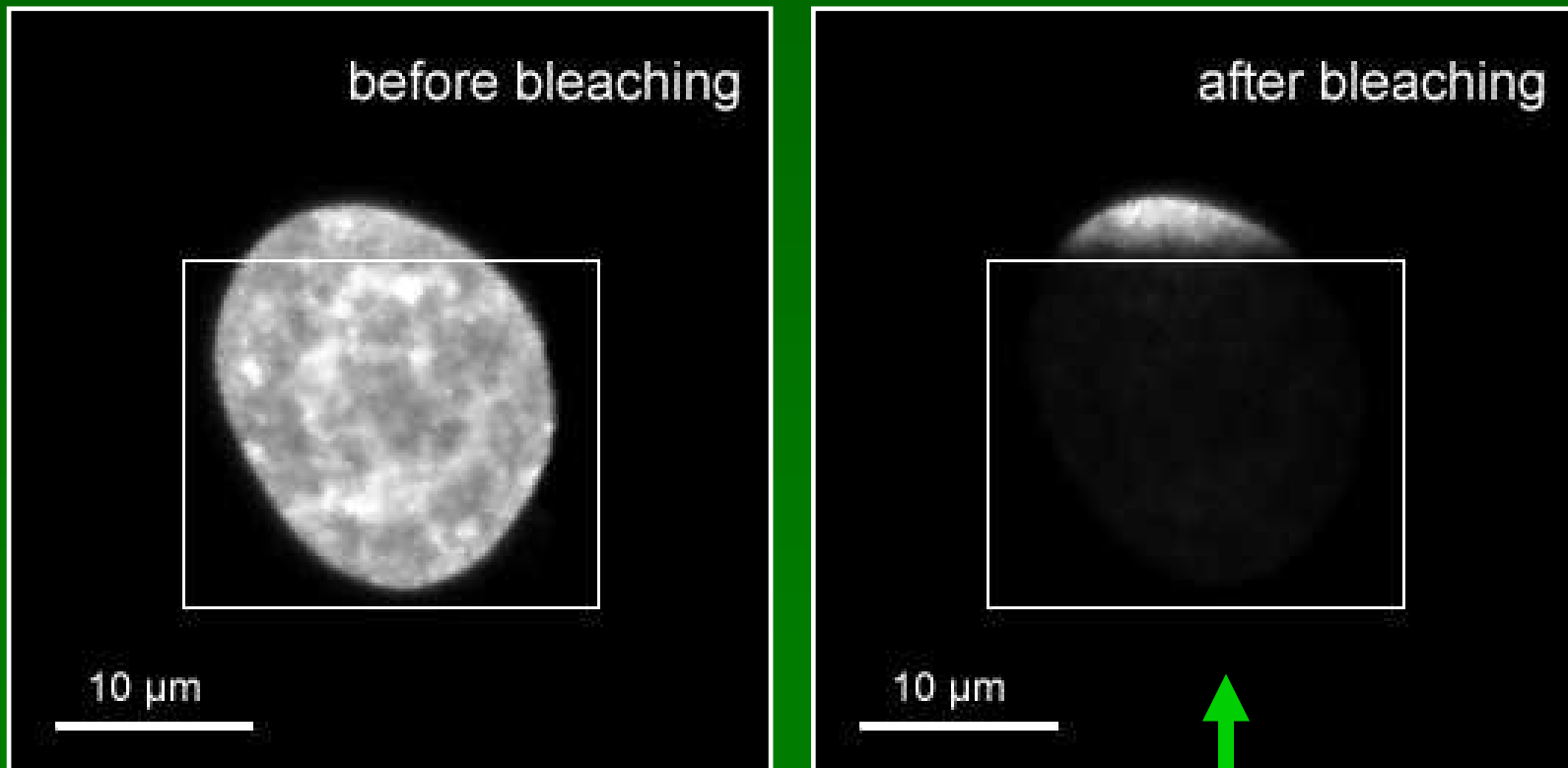
Genom se příliš nehýbe, ke změnám dochází v mitóze





$\Delta(\text{max-min}) [\mu\text{m}]$		$\Delta(\text{max-min}) [\mu\text{m}]$	
CT 1 - CN	0.91	CT 1 - CT 2	1.11
CT 2 - CN	1.19	CT 3 - CT 1	1.04
CT 3 - CN	0.73	mean \pm SD	1.54
CT 4 - CN	0.57	0.85 ± 0.27	mean \pm SD
		CT 3 - CT 2	1.37
		CT 4 - CT 1	1.48
		CT 4 - CT 2	1.66
		CT 4 - CT 3	

HeLa buňky stabilně exprimující H2B-GFP

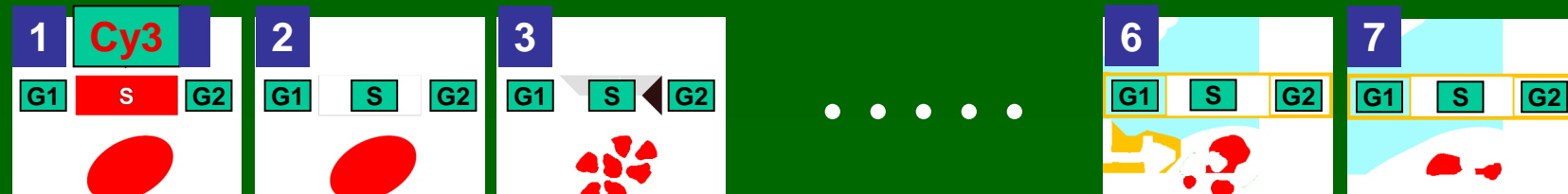


Walter et al. (2003)
J. Cell Biol. 160: 685



Jak se bude chovat nevysvícený
chromatin v průběhu cyklu ?

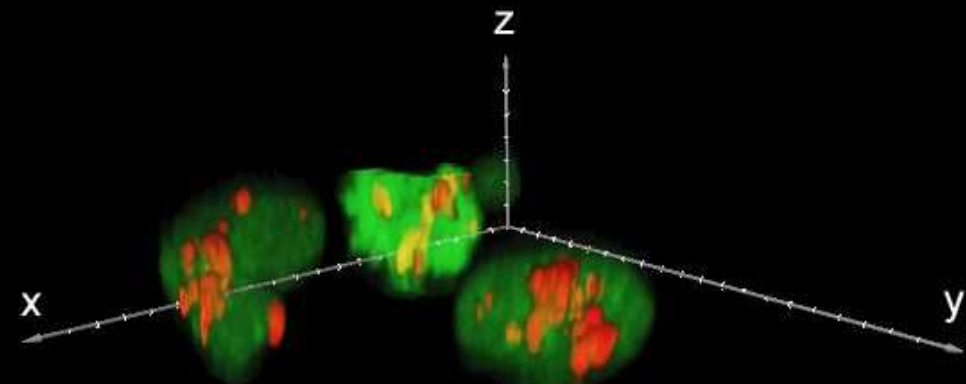
Cell cycles:



Labeling scheme

Observation period

3D volume rendering



Walter et al. (2003)
J. Cell Biol. 160: 685

Cy3-dUTP + H2B-GFP

Struktura lidského genomu

Závěry:

- 1) Genetické elementy v jádřech lidských buněčných linií jsou lokalizovány přednostně v radiálních vzdálenostech jež jsou specifické pro daný element; chromosomová teritoria tudíž vykazují radiálně závislou vnitřní strukturu
- 2) Nenáhodné radiální uspořádání je podobné u různých typů buněk a zachovalo se i v průběhu vývoje vyšších primátů a pravděpodobně i v průběhu delší evoluce
- 3) Genetické elementy různých chromosomů jsou lokalizovány nezávisle na sobě, a proto jsou chromosomová teritoria v jádřech buněk lokalizována nezávisle (tj náhodně) jedno na druhém
- 4) Genetické elementy a tím i CT mohou být vázány k sobě; frakce buněk s vázánými elementy se může lišit v závislosti na typu buněk
- 5) Chromatin je v interfázi málo pohyblivý (vazba k matrici?, málo prostoru), CT nemění vzájemné polohy, ty se mohou měnit v mitóze.